

نقش پارامتر شیب دامنه در بروز خطا در پهنه بندی خطر زمین لغزش

حسین معماریان

دانشیار دانشکده مهندسی معدن – پردیس دانشکده های فنی - دانشگاه تهران

مرتضی سیارپور

دانشجوی دکتری مهندسی نفت – دانشگاه تگزاس – آمریکا

(تاریخ دریافت ۸۴/۷/۱۶، تاریخ دریافت روایت اصلاح شده ۸۴/۳/۲۲، تاریخ تصویب ۸۴/۷/۲۷)

چکیده

از لحاظ تئوری، با افزایش میزان شیب دامنه، پتانسیل ناپایداری آن افزایش می یابد. از طرفی، بررسی آماری پارامتر شیب نشان می دهد که در کلاسها و گروه های شیبی بالاتر تراکم ناپایداری کمتر است. این ناسازگاری منشاء بروز برخی خطاهاست سیستماتیک در پهنه بندی خطر زمین لغزش، خصوصاً در وزندههای بینا است. در مقاله حاضر عوامل بروز خطا در پارامتر شیب و جهت شیب، با استفاده از داده های پهنه بندی زمین لغزش در شمال غرب ایران (منطقه کلور خلخال) و بانک اطلاعات زمین لغزش کشور، مورد بررسی قرار گرفته است. به دنبال پیشرفت ناپایداری و موقع گسیختگی، مقدار متوسط شیب دامنه کاهش می یابد و مصالح لغزیده در شیب کمتری نسبت به شیب اولیه قرار می گیرند. همین شیب نهایی معمولاً در امتیازدهی پارامتر شیب به کار گرفته می شود. از طرفی، مساحت نقشه ای واحداً، به خصوص در دامنه های پرشیب تر، به مراتب از مساحت واقعی آنها بیشتر است. این مسئله نیز باعث بروز خطای سیستماتیک در امتیازدهی به پارامتر شیب و دیگر پارامترها می گردد. بررسی میزان تراکم ناپایداریها در جهات هشت گانه شیب دامنه در منطقه مورد بررسی نیز نشانگر آنست که تراکم سطحی زمین لغزشها در دامنه های روبه شمال و شمالشرق بیشتر و در دامنه های روبه غرب و جنوبغرب کمتر از متوسط تراکم سطحی ناپایداری دامنه ای در کل منطقه است. در مقاله حاضر راهکارهایی برای رفع کاسته های فوق ارایه شده است.

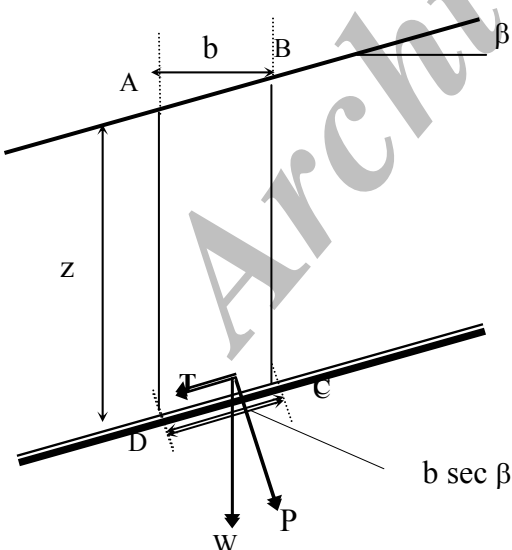
واژه های کلیدی : ناپایداری دامنه ها، زمین لغزش، نقشه پهنه بندی، پهنه بندی بینا، پارامتر شیب دامنه،

مقدمه

شیب دامنه، همراه عواملی چون سنگ شناسی، بارندگی و زمینلرزه، به عنوان پارامترهای اساسی، تقریباً در تمامی الگوهای به کار رفته در پهنه بندی خطر زمین لغزشها به کار گرفته می شوند. از لحاظ تئوری، دامنه ای که مصالح یا شرایط ناپایداری دارد، افزایش مقدار شیب باعث افزایش میزان مؤلفه نیروی وزن در راستای شیب دامنه و یا سطح لغزش می گردد. لذا در شرایطی که پارامترهای مقاومتی در دامنه ای یکسان باشند، میزان حساسیت به لغزش دامنه های با شیب بیشتر، متناسب با افزایش شیب دامنه، با رابطه ای سینوسی افزایش می یابد.

$$F_i = mg (\sin\beta - \mu \cos\beta) \quad (1)$$

در این رابطه، F_i نیروی پائین برنده در راستای شیب دامنه، mg وزن بخش ناپایدار، μ ضریب اصطکاک بین فصل مشترک بخش ناپایدار و پایدار و β زاویه شیب دامنه است. در شکل (1) الگویی ساده از نیروهای موثر بر عنصری از دامنه ناپایدار نشان داده شده است.



شکل ۱: نحوه توزیع و تأثیر نیروی وزن در عنصری از دامنه.

مقادیر تنش قایم (σ_n) و تنش برشی (τ)، ناشی از نیروی وزن (w)، با رابطه های ۲ و ۳ ارائه می گردد.

ثبت شده در دیگر نقاط ایران، در قالب بانک اطلاعاتی زمین لغزش‌های ایران (گروه بررسی زمین لغزشها، ۱۳۷۹) ملک اصلی تجزیه و تحلیلهای بررسی حاضر است. در این مقاله با بررسی پارامتر شیب دامنه، تضادها و ناخخوانیهای موجود بین فرضیات و مشاهدات، و میزان تأثیر پارامتر شیب دامنه در پهنه بندی خطر زمین معرفی شده و تا حد امکان چگونگی رفع این کاستیها ارائه می‌شود.

پارامتر شیب دامنه در پهنه بندی خطر زمین لغزش نقش مقدار شیب دامنه

در پهنه بندی خطر زمین لغزشها، اعم از پهنه بندی با وزنده‌ی بینا^۱ یا کور^۲، با شبکه بندی منظم^۳ یا نامنظم، و در تمامی مقیاسها، پارامتر شیب دامنه به عنوان یکی از لایه‌های اصلی اطلاعاتی در نظر گرفته می‌شود. از نظر تئوری و به طور متعارف، با افزایش مقدار شیب در واحدهای تفکیک شده، امتیاز بالاتری برای آن واحد در گروه بندی مقدار شیب دامنه، در نظر گرفته می‌شود. نکته‌ای که باید به آن توجه داشت این است که روشهای در نظر گرفتن پارامتر شیب دامنه و امتیازدهی به آن تا حدی با یکدیگر متفاوتند.

به طور کلی نحوه تأثیر پارامتر شیب دامنه در پهنه بندی را می‌توان به دو دستهٔ مستقیم و غیرمستقیم تفکیک کرد. در روش مستقیم اندازه گیری شیب دامنه، به توسط شمارش تعداد خطوط تراز توپوگرافی واقع در طول مشخصی از نقشه حاصل می‌شود. مقدار شیب دامنه در این حالت از رابطه^۴ قابل محاسبه است.

$$\operatorname{tg} \beta = 1000 S \frac{\Delta h}{\Delta d} \quad (4)$$

در این رابطه، Δd فاصله دو خط تراز متوازی به میلی متر، Δh اختلاف ارتفاع بین دو خط تراز متوازی به متر، S مقیاس نقشه و β مقدار شیب دامنه است. در روش غیر مستقیم از اختلاف ارتفاع نسبی موجود در واحد شبکه به عنوان جایگزینی برای لایه شیب استفاده می‌گردد (Maharaj 1993). لازم به ذکر است که در مواردی، به طور همزمان از هر دو پارامتر مقدار شیب دامنه و اختلاف ارتفاع نسبی واحد استفاده شده است (جدول ۱).

$$\begin{aligned} \sigma_n &= P / b \sec^2 \beta = \gamma b z \cos \beta / b \sec \beta \\ &= \gamma z \cos \beta \end{aligned} \quad (2)$$

$$\begin{aligned} \tau &= T / b \sec \beta = \gamma b z \sin \beta / b \sec \beta \\ &= \gamma z \sin \beta \cos \beta = \gamma z \sin 2\beta / 2 \end{aligned} \quad (3)$$

همچنانکه در روابط ۲ و ۳ دیده می‌شود، با افزایش میزان شیب دامنه، تنفس قائم کاهش و تنفس برشی و نیروی پائین برندۀ موازی با مولفه شیب دامنه (F_i)، افزایش می‌یابد. به این ترتیب؛ بخش عمدۀ ای از نیروی وزن به صورت تنفس برشی ظاهر شده، کاسته شدن ضربی اطمینان را به دنبال دارد. با توجه به چگونگی تأثیر شیب دامنه در بروز ناپایداریهای دامنه‌ای، افزایش میزان شیب دامنه به عنوان عاملی در افزایش پتانسیل ناپایداری در نظر گرفته شده و بدون استثنای در تمامی پهنه بندی‌های خطر زمین لغزش، به کار گرفته می‌شود.



شکل ۲: موقعیت منطقه کلور- هشتگین در جنوب شهر خلخال در استان اردبیل واقع در شمال غرب ایران.

در مقاله حاضر، با توجه به اطلاعات گردآوری شده از بررسیهای صحراوی در شمالغرب ایران (محدوده کلور- هشتگین واقع در جنوب خلخال از استان اردبیل)، برخی از خطاهای سیستماتیک، که در به کارگیری عامل شیب دامنه بروز می‌کند، ارایه می‌شود. منطقه مورد مطالعه (شکل ۲)، با حدود ۱۰ درصد سطحی ناپایداری دامنه‌ای، یکی از مناطق پر پتانسیل این پدیده در ایران محسوب می‌گردد. بررسی آماری پارامتر شیب دامنه در بخشی از این منطقه، با وسعت ۶۰۵ کیلومتر مربع، که غالباً دارای ناپایداریهای دامنه‌ای از نوع لغزش می‌باشد (۹۱ درصد از کل ناپایداریها)، و نیز اطلاعات ۳۲۵۱ مورد زمین لغزش

جدول ۱: رده بندی مقدار شیب و اختلاف ارتفاع نسبی دامنه توسط مولفین مختلف.

منبع	کلاس شیب یا اختلاف ارتفاع						واحد	ملاک رده بندی
	۶	۵	۴	۳	۲	۱		
Anbalagan (1992)	-	۲۵<	۱۹-۲۵	۱۳-۱۸	۸-۱۲	<۷		تعداد خطوط تراز در طول نقشه ۱cm
Anbalagan (1992)	-	۴۵<	۳۶-۴۵	۲۶-۳۵	۱۶-۲۵	<۱۵	درجه	مقدار شیب واحد
Pachauri (1992)	-	۴۰<	۳۰-۴۰	۲۰-۳۰	۱۰-۲۰	<۱۰	درجه	مقدار شیب واحد
Maharaj (1993)	-	۴۵<	۳۰-۴۵	۲۰-۳۰	۱۰-۲۰	<۱۰	درجه	مقدار شیب واحد
حائزی، سمیعی (۱۳۷۷)	۴۵<	۳۶-۴۵	۲۶-۳۵	۱۶-۲۵	۶-۱۵	<۵	درجه	مقدار شیب واحد
TC4 (1993)	۸۰۰<	۵۰۱-۸۰۰	۳۰۱-۵۰۰	۱۷۶-۳۰۰	۷۶-۱۷۵	<۷۵	m/km ²	اختلاف ارتفاع نسبی
Pachauri (1992)	-	۸۰۰<	۶۰۰-۸۰۰	۴۰۰-۶۰۰	۲۰۰-۴۰۰	۲۰۰<	m	اختلاف ارتفاع نسبی واحد

پارامتری به چگالی متوسط ناپایداری در منطقه، به دست می آید، اهمیت ویژه ای پیدا می نماید. از سوی دیگر، بررسی های آماری و تحلیلی انجام شده در مورد شیب دامنه در محلهای گوناگون، علیرغم فرضیه های تغوریک موجود، نشانگر عدم افزایش چگالی ناپایداری در کلاس شبیهای تندری، به نسبت شبیهای ملایم تر، است.

نقش جهت شیب دامنه

جنبه دیگری از تأثیر پارامتر شیب در ایجاد ناپایداریهای دامنه ای، جهت شیب دامنه است. گرچه به کارگیری این پارامتر، همانند مقدار شیب دامنه در الگوهای پهنه بندی خطر زمین لغزش رایج نمی باشد، لیکن در مناطقی که در طی ماه های مختلف سال اختلاف فاحشی در دمای دامنه های رو به آفتاب و پشت به آفتاب وجود دارد، و این نوسان دما، در محدوده بالاتر و پائین تر از نقطه انجماد آب (خصوصاً در دامنه های برف گیر) صورت می گیرد، بین توزیع فراوانی ناپایداریهای دامنه ای و جهت شیب دامنه ارتباط معنی داری برقرار می گردد. به نحوی که تراکم ناپایداریهای دامنه ای در دامنه های شمالی (پشت به آفتاب) افزایش و در دامنه های جنوبی (رو به آفتاب) کاهش می یابد.

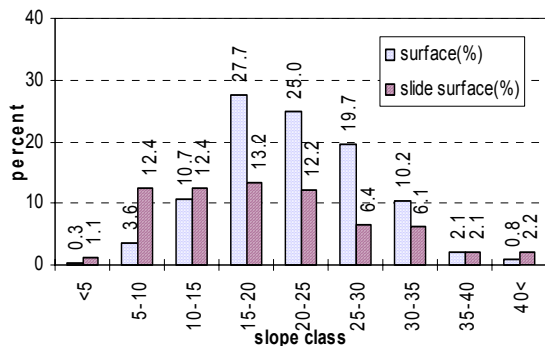
شیب دامنه های لغزشی در ایران

نتایج حاصل از بررسی ۳۲۵۱ مورد زمین لغزش ثبت شده در ایران تا تابستان ۱۳۷۹، که در قالب بانک اطلاعاتی زمین لغزشی ایران و تحت نظارت گروه بررسی زمین لغزشی وزارت جهاد کشاورزی در دست تکمیل است، نشانگر این است که شیب دامنه ها پس از

بررسیهای آماری پارامتر شیب دامنه برای زمین لغزشی به موقع پیوسته در سوئد، کانادا و نروژ نشان داده است که هیچ زمین لغزشی در اولین ناپایداری، در شیب کمتر از ۸ درجه رخ نداده است. از این رو، در این مناطق از شیب ۱۰ درصد به عنوان ملاک پایه در تهیئة نقشه خطر استفاده شده است (Berggren et al. 1992).

در یک بررسی در منطقه کاواؤچی^۴ ژاپن، پارامتر شیب با در نظر گرفتن شبکه ای منظم به ابعاد یک سانتی متر در نقشه توپوگرافی ۵۰,۰۰۰:۱، مورد بررسی قرار گرفت (Fujita 1980). نتایج به دست آمده از این بررسی نشان داد که زمین لغزشی به موقع پیوسته در سنگهای سخت و مقاوم برای اولین بار غالباً در شبیهای بالاتر از ۳۰ درجه رخ می دهند و پس از رخداد، اکثر آنها بی که در شبیی کمتر از ۳۰ درجه مستقر می شوند، حرکات آرامی را از خود نشان می دهند. در شبیهای کمتر از ۲۵ درجه اکثر زمین لغزشها غیرفعال و پایدار می گردند. در ژاپن دو دسته بندی کلی بر مبنای میزان شیب دامنه در نظر گرفته شده است. به این نحو که حرکات رخ داده در شبیهای کمتر از ۳۰ درجه تحت عنوان کلی زمین لغزش^۵ و در شبیهای بالاتر از آن، تحت عنوان گسیختگی دامنه ای^۶ تقسیم بندی شده اند (Fujita 1980). این تقسیم بندی از این جهت حائز اهمیت است که در پهنه بندیهای بینای خطر زمین لغزش میزان تراکم زمین لغزشها در کلاسهای شیب به عنوان ملاکی جهت وزن دهی ها به کار گرفته می شود، به عنوان مثال در پهنه بندی به روش ارزش اطلاعاتی^۷، که میزان خطر برای هر واحد از حاصل جمع لگاریتم های نسبت چگالی ناپایداری هر کلاس

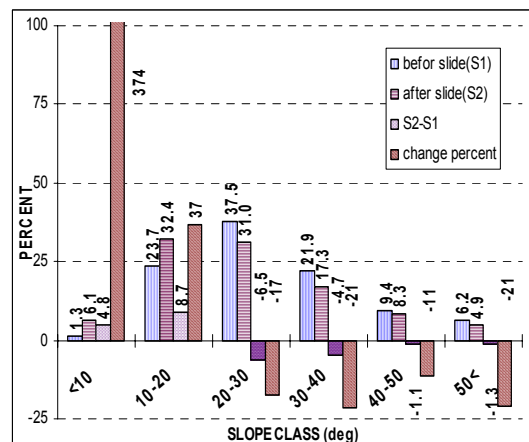
بندی خطر زمین لغزش در ایران انجام شده نیز نشانگر عدم افزایش یکنواخت درصد سطحی ناپایداریها در شبیه‌های تند، به نسبت شبیه‌های ملائم تر است. شکل (۴) فراوانی نسبی کلاس‌های شبیه، و درصد سطحی ناپایداری دامنه‌ای مشاهده شده در ۲۴۲۰ واحد مربعی شکل، به ضلع ۵۰۰ متر، را در کلیه دامنه‌های منطقه کلور جنوب خلخال، در قالب دسته بندی با فواصل پنج درجه ای نشان می‌دهد. در این منطقه میانگین شبیه دامنه‌ها ۲۱/۸ درجه و متوسط درصد سطحی ناپایداری ۱۰/۴۴ است، در وزن دهی بینا، خصوصاً در پهنه بندی به روش ارزش اطلاعاتی و منظور نمودن تراکم سطحی، از نسبت درصد مساحت بخش ناپایدار در کلاس‌های مورد وزن دهی، به درصد مساحت متوسط ناپایداری در کل منطقه، استفاده می‌شود. از این رو، نحوه دسته بندی کلاسهای، به واسطه تأثیر در مقادیر تراکمی ناپایداری در گروه بندی‌ها، نقش مهمی در میزان امتیازدهی و صحت نقشه پهنه بندی خطر نهائی ایفا می‌نماید.



شکل ۴: درصد سطحی - درصد سطحی ناپایداری، در کلاس‌های مختلف شبیه دامنه در منطقه کلور.

بررسی پارامتر مقدار شبیه دامنه در منطقه کلور، با تفکیک واحداً به ۱۷۶۷ واحد غیرلغزشی و ۶۵۳ واحد لغزشی، نشانگر آنست که متوسط شبیه دامنه در دامنه‌های غیرلغزشی ۲۲/۲ درجه است، حال آنکه متوسط شبیه دامنه‌های لغزشی ۲۰/۸ درجه است که تقلیل شبیه دو درجه ای را در دامنه‌های منطقه نشان می‌دهد. بررسی دقیق‌تر میزان تقلیل شبیه دامنه، بر مبنای درصد سطحی ناپایداری واقع شده در هر واحد شبکه، در جدول (۲) نشان داده شده است. نتایج به دست آمده از بررسی شبیه‌های لغزشی و غیرلغزشی در منطقه

لغزش به طور متوسط ۴/۲۲ درجه کاهش می‌یابد. بررسی ۱۷۷۹ مورد از این اطلاعات ثبت شده نشان دهنده آن است که متوسط شبیه دامنه‌های لغزشی قبل از لغزش ۳۰/۲۲ درجه و بعد از لغزش ۲۶/۰۱ درجه می‌باشد. ۳۷/۵ درصد از کل دامنه‌های لغزیده قبل از ناپایداری در کلاس شبیه‌های بالاتر از ۲۰ تا مساوی ۳۰ درجه قرار داشته اند، این در حالیست که بیشترین فراوانی (۳۲/۴) شبیه دامنه‌ها بعد از لغزش در دسته شبیه بیشتر از ۱۰ تا مساوی ۲۰ درجه قرار دارد. شکل (۳) توزیع فراوانی شبیه دامنه و نیز درصد تغییرات فراوانی در دسته‌های شبیه را در قبل و بعد از ناپایداری، برای ۱۷۷۹ مورد از اطلاعات ثبت شده در بانک اطلاعاتی فوق، نشان می‌دهد. به عنوان نمونه، در این شکل مشاهده می‌شود که فراوانی نسبی دامنه‌های ناپایدار در دسته شبیه‌های زیر ۲۰ درجه افزایش و در دسته شبیه‌های بالاتر از ۲۰ درجه کاهش یافته است به نحوی که فراوانی کلاس شبیه بیشتر از ۱۰ تا مساوی ۲۰ درجه، ۸/۷ درصد افزایش، و کلاس شبیه ۲۰ تا ۳۰ درجه، ۶/۵ درصد کاهش را نشان می‌دهد. در بررسی کلی، روند کاهش فراوانی در شبیه‌های گروههای سه و بالاتر، و افزایش فراوانی در شبیه‌های گروههای یک و دو قابل توجه است. از طرفی با توجه به میانگین ۴/۲۲ درجه در کاهش شبیه این دامنه ها و با توجه به انحراف معیار ۴/۳۱ آنها، با حد اطمینان ۹۹ درصد توقع کاهشی حداقل تا ۱۷ درجه در میزان شبیه دامنه پس از لغزش وجود دارد.



شکل ۳: میزان فراوانی و تغییرات حاصله در درصد فراوانی شبیه دامنه در قبل و بعد از لغزش، در ۱۷۷۹ زمین لغزش در ایران.

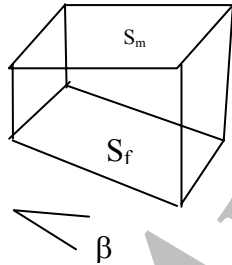
بررسیهای چندی، که در قالب تهیه نقشه‌های پهنه

پراکنش زمین لغزشها، وزن دهی (امتیازدهی) به پارامترهای مختلف و کلاس‌های آنان صورت می‌گیرد. بررسی آماره‌ها در مورد مقدار شیب دامنه‌های لغزشی تغییرات ناموزنی با اصول تئوریک در میزان فراوانی نسبی، تعداد و یا مساحت زمین لغزشها در کلاس‌های صعودی مقدار شیب از خود نشان می‌دهد.

خطای ناشی از منظور نمودن مساحت نقشه‌ای ناپایداریها

در پهنه بندی خطر زمین لغزش به روش وزن دهی بینا، اغلب از نسبت مساحت یا تعداد زمین لغزشها در کلاس‌های مختلف لایه‌های اطلاعاتی به مساحت متوسط یا چگالی تعدادی زمین لغزشها در کل منطقه، به عنوان ملاک امتیازدهی استفاده می‌شود (رابطه‌های ۵ و ۶). از آنجایی که لایه‌های اطلاعاتی به صورت نقشه‌های مسطوحاتی در نظر گرفته می‌شوند، مساحت واقعی واحدها به مساحت نقشه‌ای تبدیل می‌گردد و در محاسبات امتیازدهی، به پارامترهای دو بعدی، مساحت نقشه‌ای ملاحظه شده و باعث کاسته شدن اهمیت نسبی آندسته از کلاس‌های پارامتری می‌گردد که در شبیه‌ای تندتر قرار دارند (شکل ۵).

$$W_{fi} = \ln(D_{fi} / D_t) \quad (5)$$



$$\begin{aligned} & \text{سطح در نقشه: } S_m \\ & \text{سطح در صحراء: } S_f \\ & S_f = S_m \cdot \sec \beta \end{aligned}$$

شکل ۵: تغییر ایجاد شده در مساحت در اثر ملاحظه نمودن مساحت نقشه‌ای.

در این رابطه W_{fi} میزان امتیاز فاکتور D_{fi} چگالی ناپایداری در فاکتور fi و D_t چگالی ناپایداری در کل منطقه است. با توجه به اینکه از جمع جبری وزنهای پارامترهای مختلف در واحدهای شبکه، میزان خطر به صورت کمی Hi به دست می‌آید، تغییر هر یک از این وزنهای، هر چند به میزان جزئی، اهمیت ویژه‌ای خواهد داشت (رابطه ۶).

$$Hi = W_{f1} + W_{f2} + \dots + W_{fn} \quad (6)$$

کلور، با توجه به مقیاس ۵۰,۰۰۰ : ۱ نقشه توپوگرافی مبنا، هر چند که اختلاف فاحشی بین واحدهای با درصد سطحی ناپایداری کم و درصد سطحی ناپایداری زیاد از خود نشان نمی‌دهد، لیکن کاهش بیشتری در مقدار شیب واحدهای با درصد های سطحی بالاتر ناپایداری از خود نشان می‌دهد. از طرفی در شکل (۴) میزان تغییر فراوانی کلاس‌های شبیه، نشانگر بیشترین افزایش فراوانی در کلاس شیب ۱۰ تا ۲۰ درجه است و این بدان معنوم است که زمین لغزشها در ایران پس از وقوع غالباً در شبیه‌ای این کلاس قرار می‌گیرند و فراوانی این گروه و یا به عبارتی اهمیت این رده شبیه را در پهنه بندی بینا به صورت کاذب افزایش می‌دهند. در مقابل، شبیه‌ای تندتر از ۲۰ درجه به طور متوسط با کاهش میزان فراوانی شبیه پس از لغزش مواجه خواهد شد و این موضوع باعث کمرنگ شدن نقش آنها در وزن دهیهای بینا می‌گردد.

بررسی پارامتر جهت شیب دامنه در منطقه کلور با تقسیم بندی جهات جغرافیائی به هشت جهت اصلی صورت گرفت. این بررسی نشان داد که تراکم نسبی دامنه‌های ناپایدار، در مقایسه با تراکم متوسط منطقه در دامنه‌های رو به شمال و شمال‌شرق، که از کمترین زمان تابش آفتاب برخوردارند، به ترتیب ۲۱٪ و ۹٪ افزایش می‌یابد و در دامنه‌های رو به غرب و جنوب غرب به ترتیب با ۲۸٪ و ۸٪ کاهش مواجه می‌گردد. در سایر جهات جغرافیائی تغییر قابل ملاحظه‌ای مشاهده نگردید. در ارتباط با یافته‌های فوق، در گروه بندی و وزن دهی به پارامتر جهت دامنه در نظر گرفتن سه گروه یا کلاس پیشنهاد می‌شود. به این نحو که جهت شمالی- شمال‌شرقی به عنوان کلاس با پتانسیل بالای ناپایداری، جهات غربی- جنوب غربی به عنوان کلاس با پتانسیل کم ناپایداری و دیگر جهات به عنوان کلاس با پتانسیل متوسط در نظر گرفته می‌شوند (جدول ۳). با توجه به مقدار کم انحراف از میانگین تراکم ناپایداری در دامنه‌های رو به شمال شرق و جنوب غرب باید در به کارگیری جایگاه پیشنهادی آنها در گروه بندی مذکور محتاط بود.

وزن دهی به فاکتورها در پهنه بندی بینا و نقاط ضعف موجود در آن

در پهنه بندیهای بینا، اصولاً با مبنای قرار دادن نقشه

جدول ۲: مقدار کاهش شبیب واحدهای لغزشی به نسبت واحدهای پایدار با توجه به مقدار ناپایداری در آنها

ردیف	مساحت ناپایداری در واحد شبکه(%)	تعداد واحد	شبیب متوسط(درجه)	تقلیل شبیب(درجه)
۱	کمتر از ۱۵	۲۱۸	۲۱/۸۶	۰/۳
۲	بیشتر از ۱۵	۴۳۵	۲۰/۳۴	۱/۸
۳	بیشتر از ۲۵	۳۴۴	۲۰/۱۴	۲/۰
۴	بیشتر از ۵۰	۱۹۹	۱۹/۵۹	۲/۶
۵	بیشتر از ۷۵	۱۲۹	۱۹/۱۹	۳/۰
۶	بیشتر از ۸۵	۹۵	۱۹/۰۹	۳/۱
۷	بیشتر از ۹۵	۵۶	۱۸/۸۹	۳/۳
۸	صفر تا صد(کل واحدهای ناپایدار)	۶۵۳	۲۰/۸	۱/۴

جدول ۳: نقش چهت شبیب دامنه در افزایش و کاهش تراکم نسبی ناپایداری دامنه ای در منطقه کلور.

جهت دامنه در منطقه	فرآوانی (درصد)	چگالی لغزشی (درصد)	درصد تغییر تراکم لغزشی	تغییر وزنی ارزش اطلاعاتی
N	۱۲/۳۶	۱۲/۶۷	+۱۶	۰/۱۵
NE	۱۳/۵۵	۱۱/۴۱	+۹	۰/۰۹
E	۱۳/۱۴	۱۰/۶۱	+۲	۰/۰۲
SE	۱۰/۷۹	۱۰/۶۳	+۲	۰/۰۲
S	۷/۹۳	۱۱/۰۸	+۶	۰/۰۶
SW	۲۶/۱۶	۹/۶۴	-۸	-۰/۰۸
W	۹/۵۰	۷/۵۴	-۲۸	-۰/۳۲
NW	۶/۵۷	۱۰/۱۴	-۳	-۰/۰۳

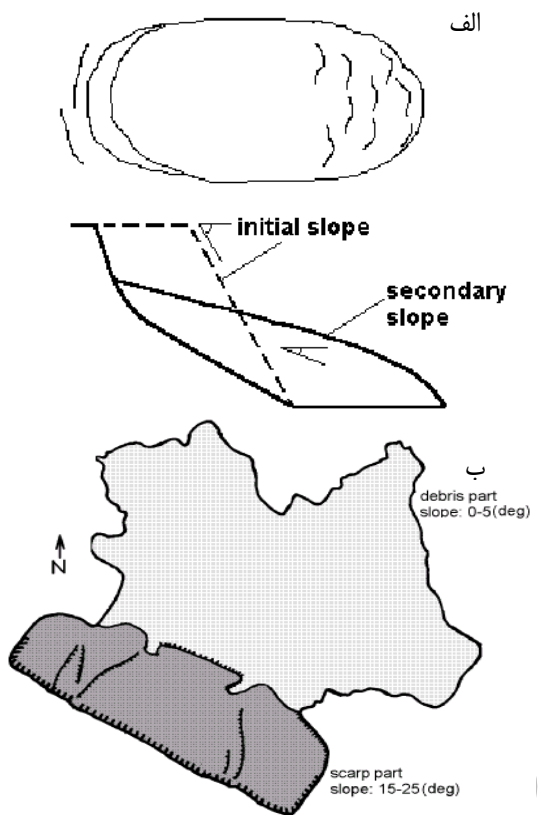
با درصد فرآوانی بالای حرکات ریزشی بسیار قابل ملاحظه می باشد. هر چند که مقایسه بین امتیازهای به دست آمده با استفاده از رابطه^(۵) برای پارامترهای سنگ شناسی و مقدار شبیب دامنه، با در نظر گرفتن دو حالت سطح نقشه ای و سطح واقعی، در منطقه کلور تفاوت ناچیزی را در وزنهای کلاسهای این دو پارامتر از خود نشان می دهد، تأثیر تجمعی این تغییرات صحت و دقت نقشه نهائی را افزایش می دهد.

خطای ناشی از نقشه پراکنش ناپایداریها

نقشه های پراکنش، با تفکیک نمودن محدوده های ناپایدار از مناطق پایدار، به عنوان کلیدی برای تعیین میزان امتیاز در گروههای فاکتوری و صحت نقشه خطر نهائی، به کار گرفته می شوند. نکته ای که معمولاً در تهیه نقشه های پراکنش کمتر رعایت می شود و باعث اعمال

با توجه به تغییر در مساحت کلاس های پارامتری مختلف، و افزایش مساحت کل دامنه های لغزیده و مساحت کل منطقه، ممکن است در تعیین H_i تغییرات قابل ملاحظه ای صورت پذیرد. به عنوان نمونه، در منطقه کلور که توسط ۲۴۲۰ واحد 500×500 متر مربعی پوشیده شده است، مساحت نقشه ای زمین لغزشها (D_{tm}) ۱۰/۴۴ درصد می باشد که از سطح ۶۰۵ کیلومتر مربعی منطقه مورد بررسی، $63/13$ کیلومتر مربع را پوشانیده است، حال آنکه با در نظر گرفتن شبیب هر واحد شبکه و محاسبه مساحت واقعی، نسبت مساحت صحرائی مناطق ناپایدار به سطح کل منطقه (D_{tf}) ۱۰/۲۸ درصد خواهد بود و مساحت کلی منطقه به $658/1$ کیلومتر مربع و مساحت مناطق ناپایدار به $67/6$ کیلومتر مربع افزایش می یابد که به ترتیب $8/7$ درصد و $7/1$ درصد بیشتر از مقدار مساحت نقشه ای آنهاست. این تغییرات در مناطق با شبیب زیاد و

دامنه و افزودن این مقدار به کلاس‌های شبیب مورد بررسی، در حالتی که تفکیکی در نقشهٔ پراکنش ملحوظ نشده باشد، مرز گروههای شبیبی تا حدی قابل



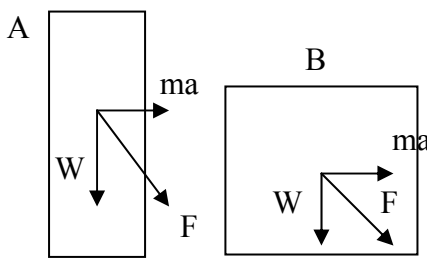
شکل ۶: افزایش امتیاز در رده‌های شبیبی کم ناشی از: (الف) کاهش شیب توپوگرافی پس از لغزش (خصوصاً در لغزش‌های قدیمی)، (ب) گستره پهناور مصالح لغزشی استقرار یافته در شیب کم، زمین لغزش سیمراه، کیبر کوه.

اصلاح است. با توجه به اطلاعات ثبت شده در بانک اطلاعاتی زمین لغزش‌های ایران، شیب دامنه‌ها پس از لغزش به طور متوسط در حدود ۵ درجه کاهش می‌یابد، لذا در وزندهی به پارامتر شیب دامنه باید با توجه به متوسط کاهش شیب دامنه‌ها پس از لغزش، وزنهای محاسبه شده به گروههای شبیبی با ۵ درجه بالاتر نسبت داده شود به عنوان مثال در شرایطی که بررسی آماری در دامنه‌های لغزیده نشانگر وجود ۱۸٪ ناپایداری در کلاس شبیبی ۱۵-۲۰ درجه باشد، باید این میزان ناپایداری به کلاس شبیبی ۲۰-۲۵ درجه نسبت داده شود. همچنین در مورد آندسته از زمین لغزش‌هایی که مصالح لغزیده پس از ناپایداری حذف شده اند، این امکان وجود دارد که این مناطق پس از گذشت چندین سال قابل شناسائی نباشند

روندي غیر منطقی از لحاظ تئوري و ايجاد خطاي سيستماتيک در نقش دهی به فاكتورها می شود، عدم تفکيک محدوده سطح گسيختگی و محدوده اي که مصالح لغزیده گستره می شوند، از يكديگر است. در اغلب موارد، مصالح لغزشی در منطقه اي بسيار کم شبیب تر و يا حتی بدون شبیب تجمع می نمایند. به عنوان نمونه، در زمین لغزش بزرگ سیمراه، واقع در يال شمال شرقی تاقدیس کبیر کوه، مصالح در دامنه اوليه، با شبیب متوسط در حدود ۲۰-۲۵ درجه، در وسعتی حدود ۷۳ کیلومتر مربع قرار داشته اند. اين مصالح پس از گسيختگی، با شبیب متوسط صفر تا پنج درجه، در محدوده اي به وسعت ۱۷۳ کیلومتر مربع، در دشت مجاور گستره شده اند (سیارپور و قبادی ۱۳۷۸). حال اگر در نقشهٔ پراکنش، که به عنوان ملاک امتياز دهی به کار می‌رود، محدوده سطح گسيختگی و محدوده توده مصالح پخش شده در منطقه، تفکيک نگرددند، مساحتی در حدود ۱۷۳ کیلومتر مربع به عنوان بخش ناپایدار در کلاس شبیهای كمتر از ۵ درجه منظور خواهد شد. در صورتی که در عمل چنین پتانسیلی در چنین شبیبی وجود ندارد. از سوی ديگر، با توجه به آنکه در اكثرب موارد پس از ناپایداری از شبیب دامنه کاسته می شود، نقش کلاس‌های شبیب کمتر، به علت افزایش فراوانی نسبی، آنها به صورت قابل ملاحظه اي بيشتر از اهميت واقعی محاسبه خواهد شد و پتانسیل آنها به طور کاذب افزوده می گردد. حال آنکه چنین پتانسیلی متعلق به شبیب اوليه می باشد (شکل های ۴ و ۶ و جدول ۳).

عدم تفکيک، هر چند تقربي، مرز بين سطح گسيختگی اوليه و محدوده گسترش مصالح در نقشهٔ پراکنش باعث اختصاص اهميت بيشتر به شبیهای کم، که مصالح لغزیده در آنها پخش شده اند، می گردد. در نتيجه در امتيازدهی به اين رده‌های شبیبی، به نسبت شبیب‌های تند تر امتياز بالاتری نسبت داده می شود. به منظور رفع اين مشكل لازم است در نقشه‌های پراکنش، تنها بخشی از مساحت زمین لغزش در وزن دهی به پارامتر شبیب به کار گرفته شود که مشخص کننده منطقه ناپایدار اوليه باشد. هر چند عملاً ممکن است تعیین اين محدوده در درون توده های لغزیده دارای دقت كافي نباشد با اين وجود تعديل قابل ملاحظه اي در خطاي حاصله به وجود مي آورد. از طرفی با محاسبه ميزان کاسته شدن مقدار شبیب

عمومی در تغییر پتانسیل ناپایداری دامنه ای مؤثرند پارامترهای دیگری نظیر ویژگیهای مقاومتی بالاتر دامنه های پر شیب تر به نسبت دامنه های کم شیب تر و نیز نقش بیشتر تغییرات سطح ایستابی در موقع ناپایداریها در شیب های کمتر را می توان عنوان داشت. در شیب های کم نسبت ؟ در مقایسه با شیب های تند، بزرگتر است و دامنه در سطح بیشتری دچار بردن زد آبهای زیر سطحی می گردد. به منظور در نظر گرفتن نقش و تأثیرات پارامتر آب زیرزمینی در شبیهای پیشنهاد می شود که از تعداد چشمehای ظاهر شده در واحدهای شبکه استفاده شود و در صورت وجود رابطه منطقی بین تعداد چشمehای ها و تراکم نسبی زمین لغزشها، از آن به عنوان یکی از لایه های پارامتری استفاده شود.



شکل ۷: تأثیر اختلاف در ناپایداری دامنه های مرتفع تر با دامنه های کم ارتفاع در شیب یکسان.

پیشنهاد ها اصلاحی در به کارگیری پارامتر شیب دامنه

با توجه به اطلاعات و بحثهای ارایه شده در این مقاله، به منظور واقعی تر نمودن نقش پارامتر شیب در پهنگه بندی خطر زمین لغزش، توجه و در نظر گرفتن چند مورد زیر پیشنهاد می شود:

۱- در محاسبه امتیاز کلاس های مختلف لایه های اطلاعاتی، به جای مساحت نقشه ای، در واحدهای شبکه (چه منظم و نا منظم)، از مساحت واقعی استفاده شود.

۲- در تهیه پراکنش، زمین لغزشها، محدوده گسیختگی اولیه از محدوده گسترش مصالح لغزیده تفکیک گردد. این جدایش با هر دقیقی که انجام گردد تأثیر به سزانی در افزایش صحت تحلیل های کمی ببار خواهد آورد.

۳- در نقشه پراکنش، بین نوع حرکات اصلی ریزش، لغزش و جریانهای واریزه ای تفکیک صورت پذیرد و در صورت امکان حد حساسیت شیب در دامنه های ناپایدار، خصوصاً برای دو دسته ریزش و لغزش، تفکیک گردد.

و عدم ثبت این ناپایداریها باعث بروز خطأ در نقشه پراکنش و متعاقباً کلاسها شیب تند گردد، لذا در تهیه نقشه پراکندگی ناپایداریها دامنه ای، باید در شناسائی این دسته از ناپایداری ها دقت بیشتری مبذول شود.

تفاوت اختلاف ارتفاع نسبی با شیب دامنه

هر چند دو پارامتر اختلاف ارتفاع نسبی^۸ و شیب دامنه یکسان به نظر می رسند و وابستگی شدیدی بین این دو لایه پارامتر وجود دارد، لیکن در مواردی که از شبکه بندی نا منظم استفاده می شود اهمیت این دو پارامتر با یکدیگر متفاوت است. در شبکه بندی منظم اختلاف ارتفاع واحد شبکه Ah ، شیب دامنه (β) و ابعاد شبکه (L) با رابطه 4 با هم در ارتباطند. لیکن در مواردی که از واحدهای طبیعی استفاده می شود، ممکن است دو دامنه هم شیب دارای اختلاف ارتفاع متفاوتی باشند و یا اینکه دو دامنه که دارای اختلاف ارتفاع آن بیشتر است به علت قرار گرفتن مرکز ثقل دامنه در ارتفاع بالاتر، در مقایسه با دامنه با اختلاف ارتفاع کمتر، دارای پتانسیل بیشتر ناپایداری دامنه ای است. گرچه در واحد های نا منظم، علاوه بر پارامتر شیب دامنه، پارامتر اختلاف ارتفاع یکسانند و تنها در مواردی که شبکه های نا منظم استفاده می شوند می توان از این دو پارامتر (هر چند که به یکدیگر وابسته اند) جهت پهنگه بندی خطر زمین لغزش استفاده نمود. شکل (۷) قرار گرفتن مرکز ثقل بلوك های سنگی با جرم یکسان و نیروی ناشی از یک شوک لرزه ای را با توجه به ارتفاع آنها نشان می دهد، بلوك A به علت قرار گرفتن مرکز ثقل آن در ارتفاع بالاتر دارای پتانسیل بیشتری است، حال آنکه شیب سطح آزاد برای هر دو بلوك یکسان است، لذا در دیواره های سنگی (یا خاکی) دیواره های مرتفع تر، پر پتانسیل تر می باشند و می توان آنها را بر مبنای اختلاف ارتفاع نسبی رده بندی نمود.

تأثیر دیگر پارامترها

علاوه بر موارد عمده و اصلی فوق الذکر که به طور

۶- جهت در نظر گرفتن نقش و اثر پارامتر آب زیرزمینی در شیبها، پیشنهاد می شود که از تعداد چشمehای ظاهر شده در واحدهای شبکه استفاده شود و در صورت وجود رابطه منطقی بین تعداد چشمehا و تراکم نسبی زمین لغزشها، از آن به عنوان یکی از لایههای پارامتری استفاده شود.

تشکر و قدردانی

مولفین برخود لازم می دانند تا از همکاریها و راهنماییهای آقای دکتر هاشمی طباطبایی از سازمان تحقیقات مسکن، وزارت مسکن و شهر سازی و همچنین کارشناسان گروه بررسی زمین لغزشی معاونت آبخیزداری وزارت جهاد کشاورزی صمیمانه سپاسگزاری نمایند.

۴- در مواردی که از شبکه بندی نامنظم استفاده می شود تأثیر هر دو پارامتر اختلاف ارتفاع نسبی و شیب واحد مورد توجه قرار گیرد. به کار بردن این دو پارامتر در شبکه بندیهای منظم صحیح ضروری نیست.

۵- دامنه های لغزشی نمایشگر شیب ملایمتر دامنه پس از حرکت اند. لذا لازم است شیب دامنه قبل از لغزش، تعیین و جهت امتیازدهی انتخاب گردد، آمار متوسط زمین لغزشی ایران نشانگر کاهش ۵ درجه در میزان شیب دامنه ها پس از لغزش است. البته در انواع حرکتهای دامنه ای این میزان کاهش متفاوت است، بنابراین جدا نمودن نوع حرکات مختلف جهت محاسبه میزان کاهش شیب در آنها باعث به دست آمدن نتایج دقیق تری می گردد.

مراجع

- 1 - Anbalagan, R. (1992). "Terrain evaluation and landslide hazard zonation for environmental regeneration and land use planning in mountainous terrain." *6th. Proc. International Symposium on Landslide*. David H. Bell. ed. Balkema, Rotterdam, New Zealand.
- 2 - Berggren, B., Fallsvik, J. and Viberg, L. (1992). "Mapping and evaluation of landslide risk in Sweden." *6th. Proceedings of International Symposium on Landslide*. Editor David H. Bell. Balkema, Rotterdam, New Zealand. Vol. 2, PP. 873-878.
- 3 - Fujita, T. (1980). "Slope analysis of landslide in Shin Koku, Japan." *Proceedings III ISL*, New Delhi, 2, PP. 169-174.
- 4 - Maharaj, J. R. (1993). "Landslide processes and landslide susceptibility analysis from an upland watershed: a case study from St. Andrew, Jamaica, west Indies." *Engineering Geology*, Vol. 34, PP. 53-79.
- 5 - Pachauri, A. K. and Manoj, P. (1992). "Landslide hazard mapping based on geological attributes." *Engineering Geology*, Vol. 32, PP. 81-100.
- 6 - TC4, Technical Committee for Earthquake Geotechnical Engineering. (1993). "Manual for Zonation on Seismic Geotechnical Hazard." *The Japanese Society of Soil Mechanics and Foundation Engineering*.
- 7 - حایری، م. و صمیمی ا. "روش جدید پهنه بندی مناطق شیبدار در برابر خطر لغزش زمین با تکیه بر بررسیهای پهنه بندی استان مازندران." فصلنامه علمی پژوهشی علوم زمین، سازمان زمین شناسی و اکتشافات معدنی کشور. سال ششم، شماره ۷، ۲۳ (۱۳۷۶).
- 8 - سیارپور، م. و قبادی م. "بهمن سنگی سیمره ابر زمین لغزش شناخته شده جهان." مجموعه مقالات اولین همایش زمین شناسی مهندسی در ایران، (۱۳۷۸).
- 9 - سیارپور، م. "نقشه پهنه بندی خط زمین لغزش در جنوب خلخال، استان اردبیل." پایان نامه کارشناسی ارشد، دانشکده فنی دانشگاه تهران، (۱۳۷۸).
- 10 - گروه بررسی زمینلغزشها. بانک اطلاعات زمین لغزشی ایران. وزارت جهاد کشاورزی، (۱۳۷۹).

واژه های انگلیسی به ترتیب استفاده در متن

1 - Sighted Weighting
4 - Kawaguchi
7 - Information Value

2 - Blind Weighting
5 - Landslide
8 - Relief

3 - Grid
6 - Slope Failure

Archive of SID